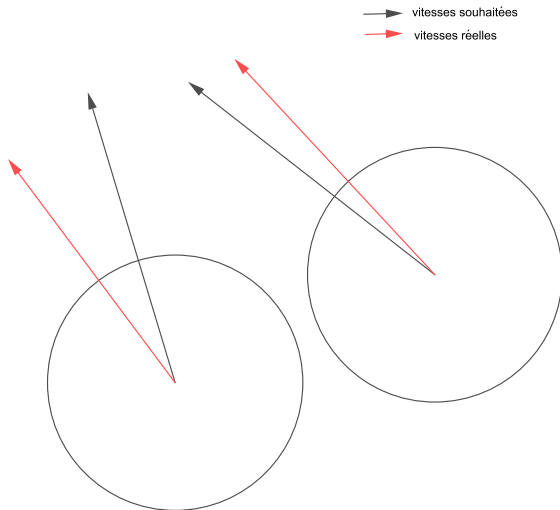


# Un modèle de mouvements de foule

مسارات مصعد إلى الجمرات الدور الثالث  
ESCALATORS TO JAMRAT THIRD FLOOR

## Description du modèle





# Sommaire

## Détermination de la vitesse souhaitée avec la Fast Marching Method

- Description

- Détails

- Preuve et complexité

- Résultats

## Détermination de la vitesse réelle avec l'algorithme de Uzawa

- Principe et préliminaires

- Description et preuve de convergence

- implémentation

- Résultats



## Détermination de la vitesse souhaitée avec la Fast Marching Method

Description

Détails

Preuve et complexité

Résultats

## Détermination de la vitesse réelle avec l'algorithme de Uzawa

Principe et préliminaires

Description et preuve de convergence

implémentation

Résultats



## Principe de l'algorithme

L'algorithme de FMM, permet de modéliser la propagation d'une onde dans un milieu. Ainsi, il peut être utilisé pour construire une carte des distances à la sortie, où la distance d'un point à cette dernière correspond au temps que met une onde se propageant depuis la sortie pour atteindre le point.

Cet algorithme utilise le même principe que l'algorithme de Dijkstra : on calcule de proche en proche les distances de chaque point à l'origine en acceptant comme calculé à chaque itération le point dont la distance est la plus faible, puis en déterminant la distance à l'origine de ses voisins.



## Structure du programme

```
for all points en sortie do  
    déterminer leur distance à la sortie  
    if elle est inférieure à la valeur précédente then  
        la définir comme la nouvelle distance  
        actualiser le tas  
    end if  
    marquer le point comme considéré  
end for  
while le tas est non vide do  
    extraire la tête du tas et la marquer comme calculée  
    actualiser le tas  
    for all points dans le voisinage de la tête do  
        déterminer leur distance à la sortie  
        if elle est inférieure à la valeur précédente then  
            la définir comme la nouvelle distance  
            actualiser le tas  
        end if  
        marquer le point comme considéré  
    end for  
end while
```



## Calcul des distances

On considère que l'onde se propage de manière uniforme donc la norme de son gradient est constante que l'on fixe à 1.

On note  $x_{i,j}$  le point de coordonnées  $(i,j)$  et

$x_{i-1,j}, x_{i+1,j}, x_{i,j-1}, x_{i,j+1}$  ses voisins. On note pour tout point  $x$   $D(x)$  sa distance.

Le calcul de la distance de  $x_{i,j}$  se fait à partir des distances de ces voisins qui ont été considérés comme calculés, et repose sur l'approximation :

$$\left\| \vec{\text{grad}}(D)(x_{i,j}) \right\|^2 \approx (\max(D(x_{i,j}) - D(x_{i-1,j}), D(x_{i,j}) - D(x_{i+1,j})))^2 + (\max(D(x_{i,j}) - D(x_{i,j-1}), D(x_{i,j}) - D(x_{i,j+1})))^2$$



## Calcul des distances

Comme on prend  $\left\| \vec{grad}(D)(x_{i,j}) \right\|^2 = 1$ , on obtient en notant  $d_h = \min(D(x_{i-1,j}), D(x_{i+1,j}))$  et  $d_v = \min(D(x_{i,j-1}), D(x_{i,j+1}))$  :

$$1 = (D(x_{i,j}) - d_h)^2 + (D(x_{i,j}) - d_v)^2$$

On déduit  $D(x_{i,j}) = \frac{d_v - d_h + \sqrt{2 - (d_v - d_h)^2}}{2}$





## Utilisation d'un tas

Afin d'accéder rapidement au point non accepté de distance la plus faible, on stocke les points non acceptés dont la distance a été calculée dans un tas, un arbre binaire dans lequel la distance d'un nœud est plus faible que celle de ses fils. Il suffit alors d'extraire la tête de l'arbre pour obtenir le point recherché.

Le tas est actualisé au cours de l'exécution de l'algorithme à l'aide des procédures suivantes :

- Remonter, qui permet de rétablir le tas après que la valeur d'une distance ait été modifiée
- Insérer, qui permet d'ajouter un nouveau point au tas
- Extraire qui permet d'extraire la tête tout en conservant la structure de tas

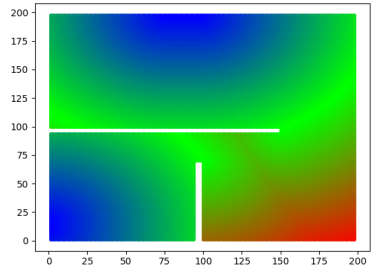
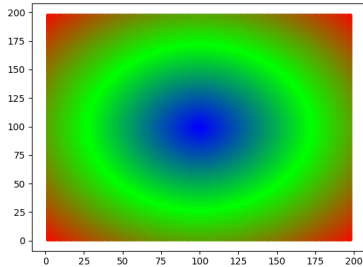


## Preuve et complexité

- La preuve repose sur l'invariant de boucle suivant : "les distances des points marqués comme calculés sont minimales"
- Si l'on considère les appels à la fonction de calcul de distance, alors l'algorithme a une complexité linéaire par rapport à l'aire de la grille
- Si l'on prend également en compte la comparaison de distances, utilisée par les procédures de gestion du tas qui ont une complexité linéaire par rapport à la taille de ce dernier, la complexité de l'algorithme passe en  $O(n \log n)$  avec  $n$  le nombre de cases de la grille



# Résultats





## Introduction

Avec la carte des distances obtenues précédemment, on peut déterminer la vitesse souhaitée d'un individu en en prenant le gradient, et ainsi construire la vitesse souhaitée du groupe d'individu :  $V_s = (v_1, \dots, v_n) \in \mathbb{R}^{2N}$

Pour éviter les collisions, la vitesse réelle  $V$  doit appartenir à l'ensemble

$$Adm = \{V \in \mathbb{R}^{2N} | \forall (i, j) \in \llbracket 1, N \rrbracket^2, h \langle (v_i - v_j) | e_{i,j} \rangle < D_{i,j} - R\}$$

Avec  $D_{i,j}$  la distance entre deux individus et  $R$  leur rayon.

On va donc projeter la vitesse souhaitée sur cet ensemble.



# Vitesse réelle

## Détermination de la vitesse souhaitée avec la Fast Marching Method

Description

Détails

Preuve et complexité

Résultats

## Détermination de la vitesse réelle avec l'algorithme de Uzawa

Principe et préliminaires

Description et preuve de convergence

implémentation

Résultats



## Principe de l'algorithme

L'ensemble des vitesses admissibles est convexe, donc on est assuré de l'existence et de l'unicité du projeté, que l'on cherche désormais à calculer.

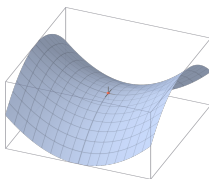
Cela revient à trouver l'élément de  $Adm$  minimisant la distance à  $V_s$ .

On ne peut pas appliquer la méthode du gradient, car elle nécessite de projeter à chaque étape sur l'ensemble  $Adm$ , ce que l'on cherche à réaliser.

On va donc se ramener à un problème où l'on pourra utiliser la méthode du gradient.



## Points selles



Soit  $f$  une application d'un produit cartésien  $U \times M$  vers  $\mathbb{R}$ , on dit que  $(u, \lambda)$  est point selle de  $f$  si  $f(u, \lambda) = \inf_{u \in U} f(u, \lambda) = \sup_{\mu \in M} f(u, \mu)$

On va montrer que le projeté de  $V_s$  sur  $Adm$  est le premier argument d'un point selle du lagrangien défini par :

$$L : \mathbb{R}^{2N} \times \mathbb{R}_+^{\frac{N(N-1)}{2}}, (v, \lambda) \mapsto \frac{1}{2} \|v - v_s\|^2 + \sum_{1 \leq i < j \leq N} \lambda_{i,j} (h \langle (v_i - v_j) | e_{i,j} \rangle - D_{i,j} + R)$$

On pourra alors chercher à trouver le second argument du point selle, en utilisant la méthode du gradient, car la projection sur  $\mathbb{R}_+^{\frac{N(N-1)}{2}}$  est facile à réaliser.



Si  $(v, \lambda)$  est point selle de  $L$ ,  $v$  est le projeté de  $V_s$  sur  $Adm$

Comme  $L(v, \lambda) = \inf \left\{ L(v, \mu), \mu \in \mathbb{R}_+^{\frac{N(N-1)}{2}} \right\}$ , pour tout  $\mu$  dans

$$\mathbb{R}_+^{\frac{N(N-1)}{2}}, \quad \sum_{1 \leq i < j \leq N} (\lambda_{i,j} - \mu_{i,j})(h \langle (v_i - v_j) | e_{i,j} \rangle - D_{i,j} + R) \geq 0$$

Donc en fixant tous les  $\mu_{i,j} = \lambda_{i,j}$  sauf un que l'on fait tendre jusqu'à l'infini, on obtient  $\forall 1 \leq i < j \leq N, h \langle (v_i - v_j) | e_{i,j} \rangle - D_{i,j} + R \leq 0$  donc  $v \in Adm$

Et de même avec 0 à la place de l'infini,

$$\sum_{1 \leq i < j \leq N} \lambda_{i,j}(h \langle (v_i - v_j) | e_{i,j} \rangle - D_{i,j} + R) = 0$$

Enfin,

$$\begin{aligned} \forall u \in Adm, \frac{1}{2} \|v - V_s\|^2 &= L(v, \lambda) \\ &\leq L(u, \lambda) \\ &\leq \frac{1}{2} \|u - V_s\|^2 + \sum_{1 \leq i < j \leq N} \lambda_{i,j}(h \langle (u_i - u_j) | e_{i,j} \rangle - D_{i,j} + R) \\ &\leq \frac{1}{2} \|u - V_s\|^2 \text{ donc } v \text{ est bien le projeté sur } Adm \end{aligned}$$





## Si $v$ est le projeté sur $Adm$ , un point selle existe

On utilisera les relations de Kuhn et Tucker, qui affirment que si  $J$  et  $(\varphi_i)_{1 \leq i \leq m}$  sont des fonctions convexes différentiables sur un espace vectoriel  $E$  dans  $\mathbb{R}$ , si on note  $U = \{v \in E \mid \forall i \in \llbracket 1, m \rrbracket, \varphi_i(v) \leq 0\}$

Si  $u$  est un minimum de  $J$  par rapport à  $U$  et si les  $(\varphi_i)_{1 \leq i \leq m}$  sont affines, alors il existe  $\lambda$  dans  $\mathbb{R}_+^m$  tel que :

$$\begin{cases} dJ(v) + \sum_{i=1}^m \lambda_i d\varphi_i(v) = 0 & (1) \end{cases}$$

$$\begin{cases} \sum_{i=1}^m \lambda_i \varphi_i(v) = 0 & (2) \end{cases}$$

De (2) on tire

$$\begin{aligned} \forall \mu \in \mathbb{R}^{\frac{N(N-1)}{2}}, L(v, \mu) &= \frac{1}{2} \|v - V_s\|^2 + \sum_{1 \leq i < j \leq N} \mu_{i,j} (h \langle (v_i - v_j) \mid e_{i,j} \rangle - D_{i,j} + R) \\ &\leq \frac{1}{2} \|v - V_s\|^2 = L(v, \lambda) \end{aligned}$$

Et (1) est une condition suffisante de minimum d'une fonction convexe, donc  $(\lambda, \mu)$  est point selle.



## La méthode de Uzawa

On cherche à trouver le second argument du point selle, c'est-à-dire trouver  $\lambda \in \mathbb{R}_+^{\frac{N(N-1)}{2}}$  tel que  $G(\lambda) = \sup \left\{ G(\mu), \mu \in \mathbb{R}_+^{\frac{N(N-1)}{2}} \right\}$ , avec

$G(\mu) = \inf_{v \in \mathbb{R}^{2N}} L(v, \mu)$ . Pour cela, on va utiliser la méthode du gradient et construire par récurrence deux suites  $(u_k)_{k \in \mathbb{N}}$  et  $(\lambda_k)_{k \in \mathbb{N}}$  en prenant  $\lambda_0 \in \mathbb{R}_+^{\frac{N(N-1)}{2}}$  de manière arbitraire, puis :

$$\begin{cases} u_k \text{ tel que } L(u_k, \lambda_k) = \inf_{v \in \mathbb{R}^{2N}} L(v, \lambda_k) \\ (\lambda_{k+1})_i = \max((\lambda_k)_i + \rho(h \langle ((u_k)_i - (u_k)_j) \mid e_{i,j} \rangle - D_{i,j} + R), 0) \end{cases}$$

Avec  $\rho$  une constante positive que l'on déterminera.



## Preuve de la convergence

L'application  $h : \mathbb{R}^{2N} \rightarrow \mathbb{R}^{\frac{N(N-1)}{2}}, v \mapsto (h \langle (v_i - v_j) \mid e_{i,j} \rangle)_{1 \leq i < j \leq N}$  est linéaire, notons  $C$  sa matrice dans les bases canoniques. On peut alors écrire  $L(v, \mu) = \frac{1}{2} \|v - V_s\|^2 + \langle \mu \mid Cv \rangle - \langle \mu \mid D \rangle$ . Avec

$$D = (D_{i,j} - R)_{1 \leq i < j \leq N}$$

Et donc avec  $(v, \lambda)$  un point selle de  $L$ , on obtient en différenciant selon  $v$  :  $v - V_s + {}^t C \lambda = 0$

De plus,  $\langle \mu - \lambda \mid Cv - D \rangle \leq 0$   $\langle \mu - \lambda \mid \lambda - (\lambda + \rho(Cv - D)) \rangle \geq 0$

D'où  $\begin{cases} v - V_s + {}^t C \lambda = 0 \\ \lambda = P_+(\lambda + \rho(Cv - D)) \end{cases}$ . Et par construction,  $(u_k, \lambda_k, \lambda_{k+1})$

vérifient les mêmes relations donc :

$$\begin{cases} u_k - v + {}^t C(\lambda_k - \lambda) = 0 \\ \|\lambda_{k+1} - \lambda\| \leq \|\lambda_k - \lambda + \rho C(u_k - v)\| \end{cases}$$



En élevant au carré l'inégalité :

$$\|\lambda_{k+1} - \lambda\|^2 \leq \|\lambda_k - \lambda\|^2 + 2\rho \langle {}^t C(\lambda_k - \lambda) | u_k - v \rangle + \rho^2 \|C(u_k - v)\|^2$$

$$\text{Ainsi, } \|\lambda_{k+1} - \lambda\|^2 \leq \|\lambda_k - \lambda\|^2 - \rho(2 - \rho\|C\|^2)\|u_k - v\|^2$$

Donc si  $2 - \rho\|C\|^2 > 0$ , la suite  $(\|\lambda_k - \lambda\|)_{k \in \mathbb{N}}$  est décroissante donc converge.

Ainsi, comme  $\|u_k - v\|^2 \leq \frac{\|\lambda_k - \lambda\|^2 - \|\lambda_{k+1} - \lambda\|^2}{\rho(2 - \rho\|C\|^2)}$ , la suite  $(u_k)_{k \in \mathbb{N}}$  converge vers  $v$ .



## Implémentation

- Utilisation de NumPy pour représenter les vecteurs et matrices
- Distances et vitesses souhaitées calculées une seule fois
- $\lambda_0 = 0$
- $$|||C|||^2 = \sum_{1 \leq i < j \leq N} |h \langle (v_i - v_j) | e_{i,j} \rangle|^2 \leq \frac{N(N-1)}{2} 4h^2 \|v\|^2 < 2N^2 h^2$$

Donc  $\rho = \frac{1}{N^2 h^2}$
- Interface graphique avec Tkinter

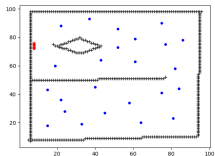
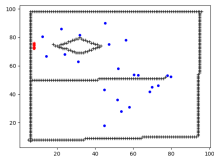
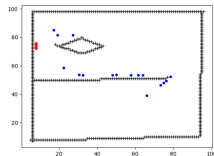
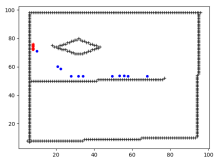
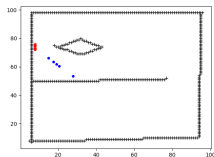
(a)  $t=1$ (b)  $t=150$ (c)  $t=300$ (d)  $t=450$ (e)  $t=650$ 

FIGURE – Première simulation

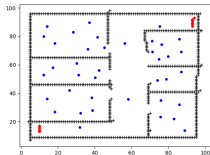
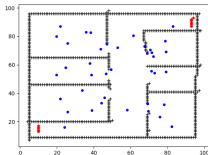
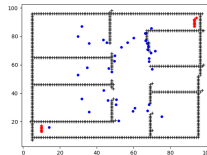
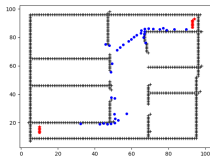
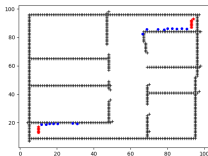
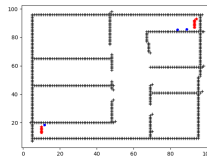
(a)  $t=1$ (b)  $t=50$ (c)  $t=100$ (d)  $t=200$ (e)  $t=400$ (f)  $t=500$ 

FIGURE – Seconde simulation